

日本大学大学院 学生員 下邊悟

1. まえがき

筆者らはここ数年以來、平均主応力一定の多軸応力下の乾燥砂のせん断变形について一連の研究を行って来た。その研究成果の一端として、砂の応力比へひずみ増分比関係がある。すなまち、¹⁾

$$\frac{\gamma}{P} = M' + \lambda \left(-\frac{dV\alpha}{d\sigma\alpha} \right) \quad \text{--- (1)}$$

1) 宮森・下邊・後川：「平均主応力一定条件における砂のせん断变形について」第1回 土質力学研究発表会 (S.51年)

2) 下邊：「三軸圧縮試験における砂のせん断变形特性」第13回国土整備技術研究発表会 (S.53年)

ここで、 M' および λ は砂の密度や応力面上の応力経路によって変化する実験定数である。また变形の拘束条件、たとえば側圧一定の平面ひずみ状態における式(1)のようなリニアなタイプの適用範囲はもっと狭くなることを実験的にすでに調べてある。²⁾さて、前報では式(1)の関係をせん断变形プロセスとしてさうに具体的に考察すべく、平均主応力一定条件下での三軸圧縮試験を対象とした大の応力比へひずみ増分比関係と異方性变形係数との関連を考察した。本報ではさらにそれを一歩進め、三軸圧縮条件下の砂の応力比へひずみ増分比関係および応力比へせん断ひずみ関係に基づく、異方性变形係数比へせん断ひずみとの関係を求め、粒状体のせん断变形過程の刻々変化する様相を調べたものである。

3) 下邊：「土の応力比へひずみ増分比関係の一考察」第3回国土整備技術研究発表会 (S.52年)

2. 異方性变形係数比～応力比およびせん断ひずみ関係

前報の結果より、平均主応力一定条件下での軸対称三軸圧縮状態のひずみ増分比が二種類の異方性变形係数によって表わされた。³⁾すなまち、

$$\frac{dV\alpha}{d\sigma\alpha} = \frac{\sqrt{2}(G_{33} - G_{11})}{G_{11} + 2G_{33}} \quad \text{--- (2)}$$

ここで、各变形係数は砂の状態によって刻々変化する。

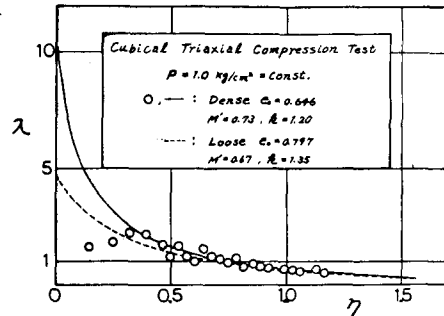
式(2)で、 $\frac{G_{33}}{G_{11}} = \lambda$ と置けば、以下のようになる。

$$\frac{dV\alpha}{d\sigma\alpha} = \frac{\sqrt{2}(\lambda - 1)}{1 + 2\lambda} \quad \text{or} \quad \lambda = -\frac{(\frac{dV\alpha}{d\sigma\alpha}) + \sqrt{2}}{2(\frac{dV\alpha}{d\sigma\alpha}) - \sqrt{2}} \quad \text{--- (3)}$$

従って、式(1)に式(3)を代入して λ について解き、 $\frac{\gamma}{P} = \lambda$ と置けば、 λ は次式によつて表わされる。

$$\lambda = -\frac{(M' - \lambda) + \sqrt{2}\lambda}{2(M' - \lambda) - \sqrt{2}\lambda} \quad \text{--- (4)}$$

これによれば、異方性变形係数比 λ が応力比 λ と関連付けられることを示すものである。次に、式(4)と実験結果との対応を考えて見よう。平均主応力一定条件下における砂の立方体三軸圧縮試験結果と式(4)の計算曲線を図-1に示してある。その結果、せん断前期を除けば計算曲線は実測値の傾向をうまく説明しており、そのデータも $\lambda = 1.0$ ではほぼ $\lambda = M'$ となる。従つて、式(4)は破壊に至るまでの刻々変化するせん断挙動を式(1)の特性が決まるその時の異方性变形係数比を応力比で表示したものである。^{*}

図-1 λ ～ γ/P 関係

* 一方、せん断前期の実測値の傾向をうまく説明できない理由は式(1)がせん断後期に適用性が高く、せん断前期の特性を示す土壤パラメータが不足しているからである。ここで、筆者らの応力比 λ へせん断ひずみ関係における双曲線近似を導入する。¹⁾すなまち、

$$\frac{\gamma}{P} = \frac{G_i M_i \lambda}{M_i + G_i \lambda} \quad \text{--- (5)}$$

ここで、 $G_i = \lambda$ ～ γ 曲線の初期接線剛性係数； $M_i = \lambda$ ～ γ 曲線の漸近値であり、共に実験定数である。そこで、(3)式を(1)式へ代入したものと式(5)と連立させて整理すれば、以下のようになる。

$$\frac{M_i M_i + G_i (M' - M_i) \lambda}{\lambda (M_i + G_i \lambda)} = \frac{\sqrt{2}(\lambda - 1)}{1 + 2\lambda} \quad \text{--- (6)}$$

式(6)で λ について解けば、次式で表わされる。

$$\lambda_i = -\frac{M'_i(M'_i + \sqrt{2}R_i) + G_i(M'_i - M_i + \sqrt{2}R_i)\alpha_i}{M'_i(2M'_i - \sqrt{2}R_i) + G_i(2M'_i - 2M_i - \sqrt{2}R_i)\alpha_i} \quad \dots \dots \dots (7)$$

式(7)は異方性変形係数比入($\lambda_i = \frac{G_{i3}}{G_{i1}}$)がせん断ひずみ γ によって表示され、その入～応力関係は一様のせん断変形過程を評価するものと考えられる。そこで、式(7)の計算曲線($=\lambda_1$ ～応力関係)と図-1で示さなかつるゆるい砂の場合の実測値とを比較したのが図-2である。この図によれば、入の実測値の傾向をうまく把えているのは入～応力関係よりも入～ひずみ関係の計算曲線の方が便利であり、その適用性も高いこと

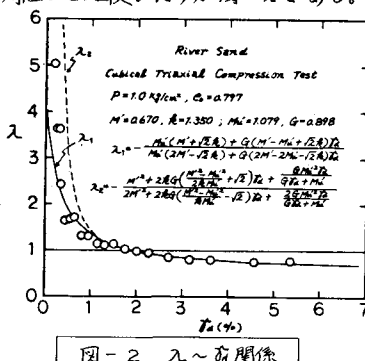


図-2 入～応力関係

がわかる。従って、砂がせん断を受けてから破壊に至るまでのせん断変形過程は応力比によりちせん断ひずみ γ そのものによって評価した方が便宜上、妥当であるように思える。

次に、式(7)の諸条件での特性を考察する。

i) $\alpha_i = 0$ なる初期条件では、

$$\lambda_i = -\frac{M'_i + \sqrt{2}R_i}{2M'_i - \sqrt{2}R_i} \quad \dots \dots \dots (8)$$

となり、入 i は砂の初期構造に関連する係数と考えられる。これは式(4)で $\gamma = 0$ と置いた時の入 i と同一であるから、図-1より密な砂とゆるい砂の入 i が大きく異なることからも明らかである。また々く M'_i での応力比～せん断ひずみ関係はほぼ直線関係であり、それにかかわるのが入 > 1 である。

ii) $\lambda_i = 0$; $\frac{d\lambda_i}{d\gamma_i} = 0$ の定常状態なることは存在しない。
iii) $\lambda_i = 1.0$ ($\gamma = M'_i$, $d\lambda_i/d\gamma_i = 0$) では最大体積圧縮点となり、すなわち、 $\gamma = M'_i$ の時の α_i は次式によつて求められる。

$$(\alpha_i)_{\lambda_i=1.0} = \frac{M'_i M_i}{G_i (M'_i - M')} \quad \dots \dots \dots (9)$$

但し、 $M'_i = M_i$ となるようなダイレイタシ⁴⁾を生じない砂では適用できない。ちなみに、式(9)によるゆるい砂の $(\alpha_i)_{\lambda_i=1.0}$ の計算値ある $\alpha_i = 7.97\%$ となり、図-2の実測値と良く一致することがわかる。同様に*

して、図-1の密な砂での $(\alpha_i)_{\lambda_i=1.0}$ の計算値は $\lambda_i = 1.23\%$ であり、密度の大小によってひずみの違いが良く反映されている。

ところで、iii)では $G_i = G_3 = G^*$ となり、ここで發揮される砂の摩擦係数 M' の力学的な意味は、 $\gamma > 1$ ($\gamma < M'$)の時の特性も考慮すれば

$$M' = f(\phi_i, e_i) \quad \dots \dots \dots (10)$$

と解釈される。ここで、 ϕ_i = 粒子間摩擦角; e_i = 初期間げき比である。つまり、 M' は ϕ_i や e_i の関数であり、固有の摩擦係数ではない。次に $\gamma > M'$ ($\gamma < 1$) ではダイレイタシ⁴⁾を生じることによって塑性変形が卓越して異方性を呈し、破壊時近傍では実測値、計算値を問わず入 i はほぼ一定値に落ち着き、その時の入 i は破壊時のすべり角と関連するであろう。

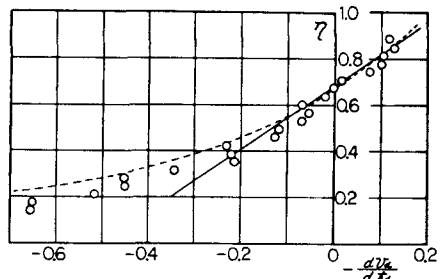


図-3 γ～(γ_i/α_i)関係

図-3は図-2と同一データの応力比～ひずみ増分比関係であるが、実線は式(1)の直線近似式を表わし、破線は式(1)の係数 M' 、危とRoscoe & Burlandの係数式を用いて曲線近似させたものである。その結果、せん断後期では直線近似式と曲線近似式はほぼ一致し、式(1)の適用性はせん断初期を除く破壊に至るまでの範囲で言及されるべきであることがわかる。以下に、その曲線近似式に関連するものを列記する。

$$\frac{\gamma^2 - M'^2}{2R_i \gamma} = \left(-\frac{d\lambda_i}{d\gamma_i} \right) \quad \dots \dots \dots (11)$$

$$\lambda_i = -\frac{M'^2 + 2R_i \alpha_i}{2M'_i M_i} \frac{(M'_i - M_i)^2}{(2M'_i M_i + \sqrt{2}R_i) \alpha_i} + \frac{(G_i M_i^2 \alpha_i)}{(G_i \alpha_i + M_i)} \quad \dots \dots \dots (12)$$

図-2に破線で示された式(12)の入 $(=\lambda_2)$ ～応力関係は式(7)の入 $(=\lambda_1)$ 同様、せん断初期を含む実測値の傾向を良く表わしており、入～応力関係によって粒状体のせん断変形過程の様相を調べることができる。最後に御指導頂いた本学浅川美利教授、官森建樹助教授に感謝します。

4) H. Oka et al.
"Anisotropic Stress-Strain Relationship"
~ S & F, Vol. 15, No. 4, Dec. 1975